丁秀秀,黄琳惠,黄奕江. microRNA-1247 通过靶向 CCR16 抑制脂多糖诱导的急性肺炎的机制 [J]. 中国比较医学杂志, 2019, 29(5): 98-103,115.

Ding XX, Huang LH, Huang YJ. microRNA-1247 inhibits lipopolysaccharide-induced acute pneumonia in mice by targeting CCR16 [J]. Chin J Comp Med, 2019, 29(5): 98–103,115.

doi: 10.3969/j.issn.1671-7856. 2019.05.015

microRNA-1247 通过靶向 CCR16 抑制脂多糖诱导的小鼠急性肺炎的机制

丁秀秀,黄琳惠,黄奕江*

(海南省人民医院呼吸与危重症医学科,海口 570311)

【摘要】 目的 探讨 microRNA-1247 通过趋化因子 CC 配体 16(CCR16) 抑制脂多糖诱导的急性肺炎的作用机制。方法 选取 8 周龄雌性 BABL/c 小鼠 30 只,随机分为 3 组,即急性肺炎模型组(6 h)、急性肺炎模型组(12 h)和正常组,每组 10 只小鼠。模型组小鼠采取气管滴加 LPS(8 mg/kg),正常组给予与 LPS 含量相同的生理盐水。分别在 LPS 造模 6 h 和 12 h 后对小鼠进行麻醉解剖,取腹腔动脉中的血液检测各组的血气值;检测肺组织干湿重含量;应用 qRT-PCR 以及 ELISA 检测 TNF- α ,IL-1 β 及 microRNA-1247 表达量;应用蛋白质免疫印迹实验检测 CCR16、TLR4、IRAK6、TAK、IKK 与 NF- κ B p52 含量。结果 模型组小鼠与正常组相比较,模型组小鼠的 PaO₂,氧和指数 $(PaO_2/\text{ FiO}_2)$ 降低,肺叶组织干湿重比增加,差异有统计学意义(P<0.05)。而 PaCO₂ 值,炎症因子 TNF- α 、IL-1 β 的 mRNA 表达水平差异无统计学意义(P>0.05)。模型组在造模后 6 h 和 12 h 肺叶组织中的 microRNA-1247 含量与 CCR16 蛋白表达量增高均有统计学意义(P<0.05)。细胞表面受体蛋白 TLR4 表达量与正常组相比较,在 TLR4 表达量降低,差异有统计学意义(P<0.05)。 IRAK6,TAK,IKK 以及转位入核蛋白 NF- κ B 与正常组相比较,在 造模后 6 h 和 12 h 组织中 NF- κ B 蛋白表达量降低,差异有统计学意义(P<0.05)。结论 在急性肺炎模型中, microRNA-1247 是通过趋化因子配体 CCR16 抑制因 LPS 诱导的急性肺炎而导致的各种细胞因子及蛋白表达升高。

【关键词】 趋化因子:配体:蛋白:肺炎:小鼠

【中图分类号】R-33 【文献标识码】A 【文章编号】1671-7856(2019) 05-0098-06

microRNA-1247 inhibits lipopolysaccharide-induced acute pneumonia in mice by targeting CCR16

DING Xiuxiu, HUANG Linhui, HUANG Yijiang*
(Department of Respiratory and Critical Medicine, Hainan General Hospital, Haikou 570311, China)

[Abstract] Objective To explore the mechanism of the inhibitory effect of microRNA (miR)-1247 on lipopolysaccharide (LPS)-induced acute pneumonia. Methods Thirty 8-week-old female BABL/c mice were randomly divided into three groups; acute pneumonia model group (6 h), acute pneumonia model group (12 h) and normal group, with 10 mice in each group. LPS solution (8 mg/kg) was instilled into the mouse trachea of the model group, and the normal group was instilled an equal volume of physiological saline. Autopsy was performed after anesthesia at 6 h and 12 h

[[]作者简介]丁秀秀(1988—),女,学士,研究方向:慢性阻塞性肺疾病、支气管哮喘、肺部感染疾病等常见多发病的研究。E-mail:f jmqf05@ f 163.com

[[]通信作者]黄奕江(1963—),男,硕士,主任医师,研究方向:支气管哮喘、慢性阻塞性肺疾病、肺部感染疾病等常见病、多发病、疑难病的研究。E-mail: yijiang12@126.com

after LPS modeling. The blood gas from the celiac artery was measured. The dry and wet weight of lung tissue was measured. qRT-PCR and ELISA were used to detect the expression levels of TNF- α , IL-1 β and miR-1247 in the pulmonary tissues. The levels of CCR16, TLR4, IRAK6, TAK, IKK and NF- κ B p52 proteins in the lung tissues of each group were detected by western blot. **Results** Compared with the normal group, the PaO₂, oxygen index (PaO₂/FiO₂) of the model group mice was decreased, and the dry-wet weight ratio of the lung was significantly increased (P < 0.05). However, the differences in PaCO₂ and mRNA expression levels of TNF- α and IL-1 β between the two groups were not statistically significant (P > 0.05). The levels of miR-1247 and CCR16 protein expression in the lung tissues of the model group were significantly increased at 6 h and 12 h after modeling (P < 0.05). Compared with the normal group, the expression of TLR4 on the cell surface was significantly lower (P < 0.05). Compared with the normal group, the expressions of IRAK6, TAK, IKK and transfected nuclear protein NF- κ B in the tissues at 6 h and 12 h after modeling were decreased significantly (P < 0.05). Conclusions The results of this study show that miR-1247 inhibites the increase of various cytokines and proteins in the LPS-induced acute pneumonia model via chemokine ligand CCR16.

[Keywords] chemokines; ligands; protein; pneumonia; mouse

趋化因子(chemotactic cytokines,CC)可以促进 白细胞移动[1],目前已经发现70多种趋化因子以及 40 多种趋化因子受体。趋化因子和其受体结合,可 以在肺部疾病中起到重要的作用[2-3]。CC 作为趋 化家族中的一员[4-5],常在肺部感染中起作用[6],其 主要针对的是 CC 单核或者巨噬细胞^[7-8]。当肺部 发生感染时,CC 及其受体的缺乏或者过低的含量表 达,可以使初级免疫细胞巨噬细胞的肺部浸润变 少,从而减少其吞噬杀菌的功能[9]。在肺叶组织 中,最多的细胞为肺泡巨噬细胞,而巨噬细胞是人 体固有免疫系统的初级防御[10]。有当肺组织受到 炎症因子刺激以后,细胞膜上的 TLR 受体会被活 化[11],之后通过级联信号传递,活化下游通路,最终 激活核转录因子 NF-κB 转位入核,诱导炎症因子转 录表达。但是大量炎症因子的表达,会促进炎症的 级联放大,形成肺内炎症"瀑布"反应,导致 ALI/ ARDS 的发生[12-13]。TRIF 蛋白基因被敲除的小鼠, 在刺激其 TLR3 和 TLR4 受体时,其 NF-κB 的转位 入核活性会明显降低[14-15],炎症因子的分泌也会显 著减少,从而得出炎症因子的分泌是通过 TLR 受体 的激活从而激活下游的 NF-κB 通路。在敲除 TAK1 蛋白基因以后,可以能下调由脂多糖所诱导的 NFкВ 蛋白的活化和炎症因子表达。小 RNA 也可以调 控炎症反应。虽然小 RNA 不参与编码蛋白,但是却 可以抑制 mRNA 转录表达蛋白,互补降解掉目的基 因,这在研究中非常的重要,可以通过小 mRNA 去 除掉对实验或者生命体有影响的目的基因。研究 发现,检测脂多糖(LPS)处理 A549 细胞前后发生显 著变化的 miRNAs,并验证 miR-1247-3P 在不同浓度 LPS 处理后细胞中有高表达,提示其可能在 ARDS 的发生发展过程中发挥作用[16]。故本研究选择

microRNA-1247 作为研究靶点,并且由于 CC 趋化因子配体 16 是调控炎性介质的关键因子,故推断 miR-1247-3P 有可能通过靶向 CC 趋化因子配体 16 而发挥作用,该推断已经在预实验中得到验证。本研究即探讨 microRNA-1247 通过趋化因子 CC 配体 16 抑制脂多糖诱导的急性肺炎的作用机制。

1 材料和方法

1.1 实验动物

选取雌性清洁级 8 周龄 BALB/c 小鼠 30 只,体重每只约 $22\sim25$ g,由海南医学院实验动物中心提供[SCXK(琼)2016-0009],小鼠饲养于温度 $20\%\sim28\%$ 清洁级鼠笼[SYXK(琼)2014-0025]。

1.2 主要试剂与仪器

脂多糖溶液(美国 Sigma 公司,批号: Sigma-L2880): 兔抗小鼠 IRAK6 多克隆抗体(Abcam 公司, 英国);兔抗小鼠 TAK 多克隆抗体(Abcam 公司,英 国); 兔抗小鼠 IKK 多克隆抗体 (Abcam 公司, 英 国);兔抗小鼠 NF-κB p52 多克隆抗体(Invitrogen 公 司,美国);兔抗小鼠 TNF-α 多克隆抗体(Abcam 公 司,英国); 兔抗小鼠 IL-1β 多克隆抗体 (Abcam 公 司,英国);小鼠 IL-18 ELISA 检测试剂盒(南京碧云 天公司);小鼠 TNF-α ELISA 检测试剂盒(南京碧云 天公司); 兔抗小鼠 CCR16 多克隆抗体 (Invitrogen 公司,美国);兔抗小鼠 TLR4 多克隆抗体(Invitrogen 公司,美国)。Ⅲ型显微外科手术器械(宁波医用缝 针有限公司):小鼠固定架(北京吉安得尔科技有限 公司); US/S5TB230型小动物手术台(北京中西远 大科技有限公司); Misonix Sonicator 4000 型超声波 破碎仪(Misonix 公司,美国); DDB-300 型多通道电 子蠕动泵(浙江象山石浦海天电子仪器厂);Waters 2695 型高效液相色谱系统(Waters 公司,美国); Centrifuge 5810R 型低温高速离心机(Eppendorf 公司,德国);全自动电泳系统(Bio-Rad 公司,美国); 18-ODS 型色谱柱(Dima 公司,美国);金盘多媒体图像处理系统(成都金盘电子科大多媒体技术有限公司)。

1.3 实验方法

1.3.1 实验动物分组

将30只8周龄小鼠随机分为3组,急性肺炎模型组(6h)、急性肺炎模型组(12h)和正常组,每组10只小鼠。

实验小鼠在实施实验前一夜进行饥饿处理,但水量供应。按照 8 mg/kg 浓度的脂多糖,以质量添加 标 准, 将 10 mL 的 脂 多 糖 溶 液 (lipopolysaccharides,LPS) 经过气管滴加到小鼠的肺部用以构建急性肺炎模型。采取小鼠股动脉血液实施血气分析,以动脉血气低于 90% 为 LPS 急性肺炎小鼠模型制作成功的标准。该实验研究经由实验动物使用与管理委员会批准的 IACUC 号为 2017-0017。本研究实验过程中按实验动物使用的 3R 原则给予人道主义关怀实施具体措施。

1.3.2 样本采集

在构建急性肺炎模型 6 h 和 12 h 以后,将 BALB/c 小鼠麻醉处死并解剖,观察肺部损伤情况。其中左侧肺叶用肺泡灌洗,检测 $TNF-\alpha$ 和 $IL-1\beta$ 含量;右肺叶用以检测蛋白及 microRNA-1247 含量。

1.3.3 血气分析及肺叶组织干湿重检测

小鼠在气管滴加脂多糖(LPS)构建急性肺炎模型 6 h 和 12 h 以后,解剖抽出腹腔中主动脉血进行血气分析。

1.3.4 qRT-PCR 检测肺叶中的 microRNA-1247 转录水平

取 200 μ L 右侧肺叶组织匀浆样本,应用 qRT-PCR 检测右侧肺叶中的 microRNA-1247 表达情况。PCR 引物序列见表 1。

1.3.5 ELISA 法检测 TNF-α 和 IL-1β 蛋白含量

应用小鼠 IL-1β 及 TNF- α 的 ELISA 检测试剂 盒,将标准品用稀释液按照要求以一定比例稀释,然后严格按照说明书要求操作。将所得到的数据以 Excel 绘制标准曲线,最终将结果代入标曲,计算出样品 TNF- α 和 IL-1β 含量数值,之后再乘以相应的稀释倍数,计算含量。TNF- α 与 IL-1 β 的含量根据 ELISA 方法,蛋白标准曲线见表 2,小鼠的 TNF- α 蛋白标准曲线方程为: $y=173x^2+30x+79.8$, $R^2=0.9927$; IL-1 β 的标准曲线方程为: $y=16x^2+197x+13$, $R^2=0.9989$ 。由标准曲线数据可知,实验数据线性良好,且 R^2 均超过 0.99, 说明数据准确,曲线可用。注:最低检测浓度为 10 pg/mL。见表 2。

1.3.6 Western blot 法检测 CCR16 和 TLR4 受体蛋白表达情况

①膜封闭:把 NC 膜放入到平皿中,同时向容器中添加浓度为 5%的脱脂奶粉,溶液以完全盖住膜为宜,置于水平摇床暗处封闭 0.5~1.5 h。②洗膜:在除去脱脂奶粉溶液以后,取出 NC 膜置于 TBST 中洗涤 3 次,每次洗涤 5~10 min。③加入一抗(CCR16 和 TLR4 受体蛋白的一抗):将一抗用0.6% TBST 稀释,将 NC 膜剪至合适的大小,使蛋白面朝上放在含有抗体的小盒中,期间不断的轻轻的晃动孵育盒,抗体与膜充分接触,在 4℃下孵育一夜。④洗膜:取出 NC 膜,并放置于 FBS 溶液中洗涤 3 次,每次大概 20 min。⑤加入二抗:二抗使用0.6%的 PBS 稀释 500 倍以后,室温孵育 1 h 以上。⑥洗膜:取出 NC 膜,将膜放于 TBST 溶液中洗涤 4次,每次 20 min。⑦膜显色,室温晾干,拍照保存。

表1 qRT-PCR 引物序列

 Table 1
 Primer sequences for qRT-PCR

	1 1	
引物名称	正向引物	反向引物
Primer name	Forward primer	Reverse primer
miR-1247	5'-ACACTCCAGCTGGGACCCGTCCCGTTCGTCC-3'	5'-AACGCTTCACGAATTTGCGT-3'

表 2 TNF- α 与 IL-1 β 蛋白标准曲线数据(n=10)

Table 2 Standard curve data of TNF-α and IL-1β proteins

组别 Groups	TNF-α(pg/mL)	IL-1β(pg/mL)	
OD 值 OD value	4000/3.7,2000/3.2 1000/2.73,500/2.10, 250/1.9,125/1.3,62.5/0.75	4000/4. 6,2000/4. 0,1000/3. 53,500/3. 10, 250/2. 60,125/2. 01,62. 5/1. 45	
标准曲线 The standard curve	$y = 173x^2 + 30x + 79.8$	$y = 16x^2 + 197x + 13$	
R ² 值 R ² value	0. 9927	0. 9989	

1.4 统计学方法

应用 SPSS 20.1 软件统计分析,所有数据以平均数±标准差($\bar{x} \pm s$)表示,方差齐性检验后,组间比较应用 t 检验,P < 0.05 代表差异存在统计学意义;用 Pearson Correlation 进行相关性检验,检验水准 $\alpha = 0.05$ 。

2 结果

2.1 两组小鼠血气分析及肺叶组织干湿重比较

BALB/c 小鼠模型组的 PaO_2 以及氧和指数 (PaO_2 / FiO_2) 与正常组相比都有统计学意义(P < 0.05),且由模型组(6h,12h)的小鼠氧和指数不难看出模型组符合临床 ALI 的诊断标准,也证明建模成功。模型组的 $PaCO_2$ 值和正常相比无统计学意义(P > 0.05)。模型组小鼠的肺组织干湿重(6h,12h)与正常组比较,差异均有统计学意义(P < 0.05)(表3)。

2.2 各组小鼠的血浆炎症因子表达水平变化

本实验测定了 TNF- α 与 IL-1 β 的表达量。与正常对照组 balb/c 小鼠进行比较,模型组(6 h、12 h)的炎症因子 TNF- α 、IL-1 β 的表达水平与正常组相比无统计学意义(P>0.05)。而肿瘤坏死因子 TNF- α 的表达量在造模后 6 h 和 12 h 以后略有升高,但是变化不明显。IL-1 β 的表达量在造模后 6 h 和 12 h 以后也略有升高,但是变化也不明显,此变化趋势与 TNF- α 变化趋势相似(表 4)。

2.3 模型组小鼠肺组织中 microRNA-1247 含量与正常组的倍数关系

与正常组小鼠进行比较,模型组在造模后 6 h和 12 h组织中的 microRNA-1247 的含量差异有统计学意义(P<0.05),且模型组 12 h倍数要高于 6 h,说明随着造模时间的延长, microRNA-1247 的生成量越来越高(表 5)。

2.4 各组小鼠 CCR16 和 TLR4 受体蛋白表达情况

WB 结果显示,CC 趋化因子配体 16(CCR16)与正常组进行比较,模型组在造模后 6 h 和 12 h 组织中的 CCR16 蛋白表达量有统计学意义(P<0.05),且模型组 12 h 含量要高于 6 h,其表达量的变化和microRNA-1247 变化呈现一定正相关。而细胞表面受体蛋白 TLR4 与正常组进行比较,模型组在造模后 6 h 和 12 h 组织中的 TLR4 蛋白表达量有统计学意义(P<0.05),且模型组 12 h 含量要低于 6 h 组和正常组,其表达量的变化和microRNA-1247 变化呈现一定负相关(表 6 及图 1)。

2.5 各组小鼠 IRAK6 和 TAK 蛋白表达量比较

模型组的 IRAK6 和 TAK 蛋白表达量与正常组相比较,模型组在造模后 6 h 和 12 h 后组织中IRAK6 和 TAK 蛋白表达量有统计学意义 (P < 0.05),且模型组 12 h 灰度值要低于 6 h(表 7 及图 2)。

表 3 各组小鼠血气值及肺组织干湿重结果(n=10)

Table 3 Blood gas and dry matter and wet weight of lung tissues in each mouse group

组别 Groups	PaO ₂ (mmHg)	PaCO ₂ (mmHg)	PaO ₂ /FiO ₂	干湿重比较(湿重/干重) Dry and wet weight ratio (W/D)
对照组 Control group	72. 21±5. 21	37. 45±2. 79	460. 73±5. 36	2. 13±0. 45
模型组(6 h) Model group (6 h)	41.98±3.74*	39. 25±1. 51	280. 14±3. 15 *	3. 97±1. 18 *
模型组(12 h) Model group (12 h)	36. 75±2. 86 **	40. 84±4. 28	240. 03±4. 65 **	4. 97±0. 28 **
F	15. 762	1. 522	22. 205	13. 528
P	0.003	0. 741	0.002	0. 004

注:与对照组比较,*P<0.05。

Note. Compared with the control group, * P<0.05.

表 4 各组小鼠血浆中炎症因子含量对比结果(n=10) **Table 4** Comparison of plasma inflammatory

factors in each group

组别 Groups	$TNF\text{-}\alpha(pg\!/mL)$	$IL\text{-}1\beta(\text{pg/mL})$
对照组 Control group	99. 42±3. 41	78. 17±3. 64
模型组6h Model group (6h)	105. 39±8. 31	85. 82±2. 95
模型组 12 h Model group 12 h	109. 42±6. 21	92. 42±3. 06
F	0. 984	1. 275
P	0. 837	0. 423

注:与对照组比较,* P <0.05。 Note. Compared with the control group, * P < 0.05.

表 5 不同诱导时间肺组织中 microRNA-1247 倍数(n=10) **Table 5** miRNA-1247 levels in lung tissues at different induction times

组别 Groups	倍数 Multiple
对照组 Control group	1.00±0.03
模型组6h Model group (6h)	2. 64±0. 86 **
模型组 12 h Model group 12 h	4. 42±0. 73 **
F	12. 301
P	0. 001

注:与对照组比较,* P<0.05。

Note. Compared with the control group, P<0.05.

表 6 各组小鼠肾小管自噬体膜标志 蛋白表达量比较(n=10)

Table 6 Comparison of expression of autophagic membrane markers in renal tubules of the mice in each group

		0 1
	蛋白(灰度值)Pr	otein (gray value)
Groups	CCR16	TLR4
对照组 Control group	0.47±0.02	0.82±0.25
模型组6h Model group (6h)	2. 67±0. 12 **	0.68±0.07**
模型组 12 h Model group (12 h)	3. 01±0. 16 **	0. 32±0. 05 **
F	21. 682	14. 105
P	0.001	0.001

注:与对照组比较,*P<0.05。

Note. Compared with the control group, * P < 0.05.

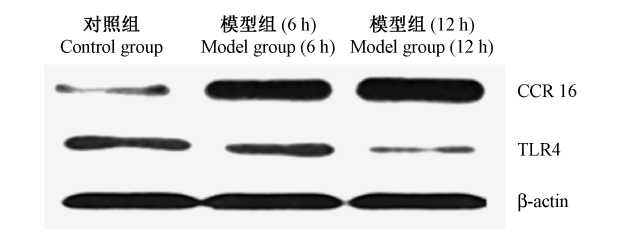


图 1 Western blot 检测 CCR16 和 TLR4 受体 蛋白表达情况

Figure 1 Expression of CCR16 and TLR4 receptor proteins detected by Western blot

表 7 各组小鼠 IRAK6 和 TAK 蛋白表达量比较(n=10) **Table 7** Comparison of IRAK6 and TAK protein

expressions in each group

expressions in each group		
组别 Groups	IRAK6 (灰度值) IRAK6 (gray value)	TAK (灰度值) IRAK6 (gray value)
对照组 Control group	1.97±0.09	0. 92±0. 11
模型组6h Model group (6h)	1. 18±0. 08 **	0.63±0.04*
模型组 12 h Model group (12 h)	0.77±0.10**	0. 47±0. 03 **
F	13.760	10. 312
P	0.001	0.003

注:与对照组比较,*P<0.05。

Note. Compared with the control group, * P < 0.05.

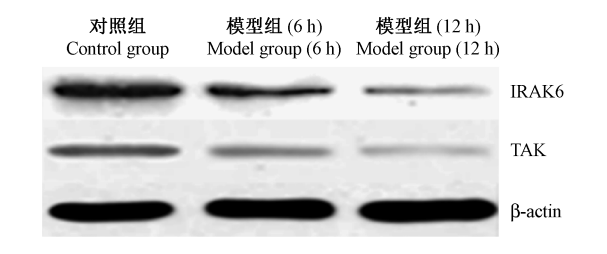


图 2 Western blot 检测 IRAK6 和 TAK 蛋白表达情况

Figure 2 Expressions of IRAK6 and TAK proteins detected by Western blot

2.6 各组小鼠 IKK 蛋白表达量比较

模型组的 IKK 蛋白表达量与正常组相比较,模型组在造模后 6 h 和 12 h 后组织中 IKK 蛋白表达

量有统计学意义(P<0.05),模型组 12 h 灰度值低于 6 h(表 8 及图 3)。

表 8 各组小鼠 IKK 蛋白表达量比较 (n=10)

Table 8 Comparison of the expression of IKK protein in each group

组别	IKK (灰度值)
Groups	IKK (gray value)
对照组 Control group	1. 97±0. 21
模型组6h Model group (6h)	1. 43±0. 25 *
模型组 12 h Model group(12 h)	1. 17±0. 13 **
F	13. 293
<i>P</i>	0.004

注:与对照组比较,*P<0.05。

Note. Compared with the control group, * P < 0.05.

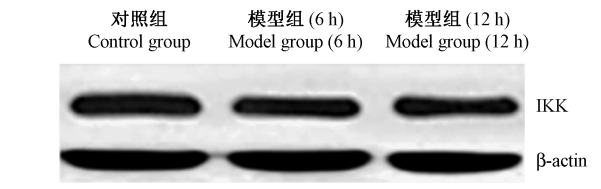


图 3 Western blot 检测 IKK 蛋白表达情况

Figure 3 Expression of IKK protein detected by Western blot

2.7 各组小鼠 NF-κB p52 蛋白表达量比较

WB 检测结果显示,与正常组进行比较,模型组在造模后 6 h 和 12 h 组织中的细胞炎症重要的转位入核蛋白 NF-κB p52 表达量有统计学意义 (P < 0.05),且模型组 12 h 灰度值低于 6 h 低于正常组,其表达量的变化和 microRNA-1247 变化呈现一定负相关(表 9 及图 4)。

表 9 各组小鼠 NF-κB 蛋白表达量比较 (n=10)

Table 9 Comparison of NF-κB protein levels in each group

	C 1
组别	NF-κB (灰度值)
Groups	NF-κB (gray value)
对照组 Control group	1.94±0.09
模型组6h Model group (6h)	1. 05±0. 03 **
模型组 12 h Model group(12 h)	0.95±0.04**
F	10. 350
<i>P</i>	0.001

注:与对照组比较,*P<0.05。

Note. Compared with the control group, $^*P < 0.05$.

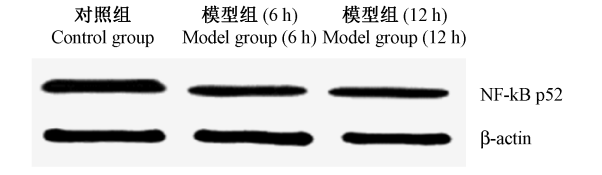


图 4 Western blot 检测小鼠转位入核 蛋白 NF-κB p52 表达情况

Figure 4 NF-κB p52 translocation detected by Western blot

3 讨论

肺组织是身体最大的脏器,且有很多毛细血管。它的结构和生理功能的特殊性,决定了其容易受损的特性。现已证实,TLRs 识别受体在哺乳动物中广泛存在,它在调节人体免疫进程中非常的重要。目前己经发现 10 几种 TLRs 受体,他们在固有免疫中承担的作用不同,是刺激物信号转导到下游十分重要的受体蛋白。TLR4 在革兰阴性细菌感染中承担重要作用。革兰氏阴性菌细胞壁成分脂多糖在释放以后,会与细胞膜表面的受体 CD14 形成复合物,并活化 TLR4 受体,进一步活化下游蛋白,促进其下游蛋白的表达,最终降解 I-kB 将 NF-κB 释放,使 NF-κB 发生转位入核,启动炎症基因的转录和翻译,由此引发炎症反应^[16]。

在 Dang 等^[17]的研究中显示小鼠在通过气管向肺部滴加 LPS 诱导的模型中检测到了 miR-146a 基因的上调。但是,小鼠通过雾化吸入 LPS 构建模型后,却没有检测到 miR-146a 基因的上调表达^[18]。出现这一结果的原因可能是 miR-146a 的表达有种属之间特异性,因此本实验所证实的 LPS 诱导的急性肺炎模型中 microRNA-1247 基因的上调表达,在不同的种属小鼠,小鼠或者不同 LPS 诱导方式的模型之间都可能有不同的表达。

许多文献表明 LPS 诱导的炎症模型导致的炎 症反应会呈现瀑布式发生,这就增加了小鼠在炎症 发生过程中的致死率。本文研究结果表明 LPS 由 气管滴入到肺部诱导的模型组小鼠的 PaO。以及氧 和指数(PaO,/FiO,)和肺叶组织干湿重与正常组相 比差异显著。而炎症因子 TNF-α、IL-1β 的 mRNA 表达水平差异却并不明显。后续实验结果显示模 型组在造模后 6 h 和 12 h 以后组织中的 microRNA-1247 表达量较正常组升高的十分明显。这与以往 的文献相比, 小 RNA 含量升高的更明显, 且下游蛋 白的研究也更为透彻。为了探索小 RNA 的升高的 是否与炎症因子的低表达有关,应用后续的 WB 实 验验证。WB 结果显示,与正常组相比,模型组在造 模 6 h 和 12 h 后肺叶组织中的 CCR16 蛋白表达量 差异显著,且随着造模时间的延长逐渐升高。其表 达量的升高与 MICRNA-1247 的含量成正相关。而 细胞表面受体蛋白 TLR4 表达量与正常组相比,两 组模型组的 TLR4 表达量明显降低,与 MICRNA-1247 的表达量呈现负相关。IRAK6、TAK、IKK 蛋白 与正常组相比较,蛋白表达量在造模后显著降低。 转位入核蛋白 NF-κB 与正常组相比较,在造模后 6 h 和 12 h 后肺叶组织中 NF-κB 蛋白表达量也相应 降低,与 MICRNA-1247 的表达量呈现负相关。而 TLR4 正是 NF-κB 通路的受体蛋白, 而 IRAK6、TAK 和 IKK 是 NF-κB 蛋白的上游蛋白,它们的减少直接 决定 NF-κB 的活化与转位入核,从而影响炎症因子 的表达。由此得出炎症因子的降低与 microRNA-1247 的表达升高有关,通过 microRNA-1247 的高表 达,抑制 TLR4 和 NF-κB 因 LPS 而引起的高表达,进 而减少炎症因子的分泌,防止由于炎症因子的过量 释放造成的机体损伤。且 CC 趋化因子配体 16 的 明显升高也可以得出 microRNA-1247 抑制 LPS 诱导 的急性肺炎的机制是通过 CCR16 抑制肺泡巨噬细 胞的 TLR4 信号通路的活化,通过减少 TLR4 受体的 表达,级联反应的影响下游蛋白 IRAK6、TAK 和 IKK 的含量表达,从而影响 NF-κB 转位入核从而减少肺 部炎症因子的释放,进而减轻炎症反应。本研究选 择检测 NF-κB p52 来反应其核转位的原因是,与正 常组进行比较,模型组在造模后 6 h 和 12 h 组织中 的细胞炎症重要的转位入核蛋白 NF-кВ p52 表达量 差异有统计学意义,因其表达量的变化和 microRNA-1247 变化呈现一定负相关,故推测 microRNA-1247 抑制了 NF-κB p52 蛋白的表达量, 从而减少炎症因子的表达。

综上所述,在急性肺炎模型中,microRNA-1247 是通过趋化因子配体 CCR16 抑制因 LPS 诱导的急 性肺炎而导致的各种细胞因子及蛋白表达量的 升高。

参考文献:

- [1] Minter MR, Main BS, Brody KM, et al. Soluble amyloid triggers a myeloid differentiation factor 88 and interferon regulatory factor 7 dependent neuronal type-1 interferon response in vitro [J]. J Neuroinflamm, 2015, 12(8); 71.
- 2] Corbett A, Smith J, Ballard C. New and emerging treatments for Alzheimer's disease [J]. Expert Rev Neurother, 2012, 17(2): 147-156.
- [3] Gaur S, Agnihotri R, Costantini, et al. Alzheimer's disease and chronic periodontitis: is there an association? [J]. Geriatr Gerontol Int, 2015, 15(4): 391-404.
- 4] Latta CH, Brothers HM, Wilcock DM, et al. Neuroinflammation in Alzheimer's disease; A source of heterogeneity and target for personalized therapy [J]. Neuroscience, 2015, 302 (8): 103 -111.

(下转第115页)